

II-101 岩盤内に設けた水抜孔の機能について

埼玉大学 正員 鳴 祐之

1はじめに 海底下にトンネルを掘削するにあたり、とくに掘削地点が断層破碎帯を通過するような場合には、出水およびそれに伴う切羽の崩壊を防止するため特別の考慮が払はれていた。すなわち、図-1に示すようだ、掘削半径 r_4 に比し充分に大きい半径 r_3 の注入域を設け、さらにその周辺に多くの水抜孔を配置した状態で内部の掘削が行なわれることである。この際水抜孔は、①注入域外周にかかる水圧を軽減させる；②注入域内の間隙水圧を減少させ、注入域のせん断抵抗を増加させる；③切羽ににおける湧水を防止する；等の重要な機能を果すものと考えられる。しかし、対象とする地山が岩盤めらかでは破碎帶のようなものであるため、定量的機能の評価が著しく困難である。

本文は、光透水層が等方性であるとした場合の水抜孔に関する解析結果が、実際の測定結果とかなりの差異のあることを紹介し、次に岩盤内透水経路としていくつかのモデルを想定し、それらのモデルで水抜孔周辺にどのようなボテンシャル分布が得られるかを知ることにより、前記の差異の起る可能性について検討を行なつたものである。

2 等方性透水層の解析結果と実測結果

筆者は、図-1に示す流れの場において、注入域は不透水層と考え、 $H_1 \gg r_3, r_4$ とした時の水抜孔周辺におけるボテンシャル分布を求めた。(土木学会：青函トンネル土圧研究調査報告書、昭和45年度、参照) この結果から、図-2に示す代表点B, B'およびC点のボテンシャルを水抜孔の孔数 n の関数として表わしたもののが図-3である。ただし

$$h = \frac{P_{\infty} + y - r_4}{H_1 + H_2 - r_4} \quad \text{を定義され、計算条件と}$$

しては $H_1 = 230 \text{ m}, r_3 = 20 \text{ m}, r_4 = 21 \text{ m}, r_d = 4 \text{ cm}$ としている。

この図より、例えば水抜孔数を1孔とした場合、注入域外周での水圧は全水圧の20%以下に抑えられ、半数の6孔でも40%以下となることが期待できる。

一方、現場での計測結果(鉄建公团、牛上駅男；竜巣斜坑崩壊個所へ突破について、P. 51～54、参照)によれば、湧水圧は $15 \sim 20 \text{ kg/cm}^2$ の範囲にあり、全水圧 25 kg/cm^2 に比し $60 \sim 80\%$ となる。また、同様な結果は土木学会、青函トンネル土圧研究委員会が昭和48年～49年に実行した現地試験の結果からも得られている。

このような事実は、岩盤内の透水が対象とする領域内に同じ有限な数の優勢な透水経路によって支配され、そのための経路が非等方性かつ不均一であることにによるものと思われる。

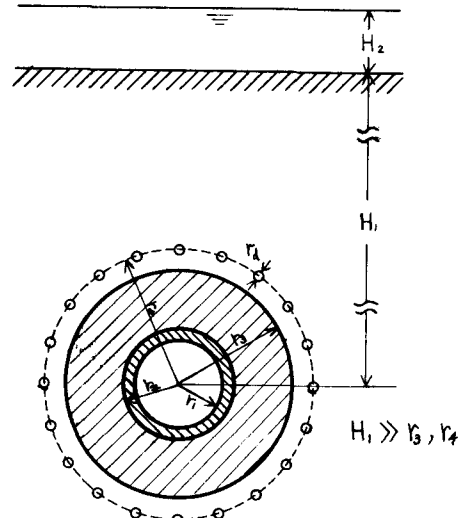


図-1 海底トンネル掘削断面

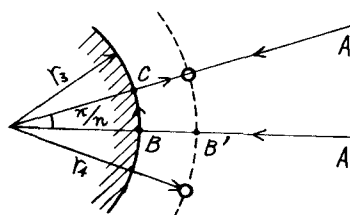


図-2 水抜孔周辺の代表点

3 龜裂モデルに関するポテンシャル分布

現象を単純化するため、岩盤内に互に直角に等間隔の透水経路（龜裂）が走る、といふとする。水平龜裂と鉛直龜裂の交点の座標を (i, j) で、また水抜孔の位置の座標を (i_A, j_A) で表わすこととする。そこで、鉛直龜裂の上端は単位下ポテンシャルに接し、水抜孔は零ポテンシャルとした場合、各格子点におけるポテンシャルの値は、ダルシー法則と連続の方程式を組み合わせた多元連立方程式を解くことにより求められる。

以下に、いくつかのモデルについて求めた数値計算結果とその特性について述べる。

(a) モデル1 $i = 0 \sim 10, j = 0 \sim 10$ とし、 $j_A = 5, i_A = 5$ に水抜孔のある場合である。いま、 $R = \frac{i_A}{j_A}$ とし、 R の変化に伴う $j = 5$ 上でのポテンシャル分布を示したもののが図-4である。いま $j = 0$ を注入域の外縁と考え、 $i = 10, j = 5$ に隣接水抜孔があり、これを閉塞して湧水圧を測定したとすれば、湧水圧は同点のポテンシャルと同等になる。したがってこの図より、鉛直龜裂相互の膨脹状態が悪い程 (R が大)、過大の湧水圧を示すこととなり、ひいては水抜孔の機能が低下することとなる。（岩盤内龜裂の非等方性）

$i = 0 \sim 10, j = 0 \sim 30$ の場合の結果では、ミク傾向はかなり緩和されることが知られる。

(b) モデル2 このモデルは図-5に示されるように、中央部に帯状の細かい網目が入ったものである。大小の網目の面積の比は $6:1$ となっている。各経路の比抵抗が等しいとすれば、帶状部分は他の龜裂に比べ相対的に水を通しやすい、いわば破碎帯を示すことになる。そこで、 $R = 1$ として A, B および Q に水抜孔が置かれた場合、A および Q に同時に水抜孔が置かれた場合、および $R = 5$ として A に水抜孔の置かれた場合、合計 5 つの状態を想定する。それぞれの場合に対する $j = 12$ 上でのポテンシャル分布を示したもののが図-6である。

この図より、① 破碎帯中に水抜孔を設けた場合には、湧水量は当然大きくなるが、その割には周辺岩盤 ($i = 0$ or 12) での水圧降下は大きくならない；② R の値が大きければ、周辺部の水圧降下はさらに減少する；③ 水抜孔の周辺に破碎帯が存在する場合には、水抜孔による水圧降下は破碎帯の向う側にすでに殆ど及ばない；……の諸点が明らかとなる。このことは岩盤の不均一性による効果と見なされる。

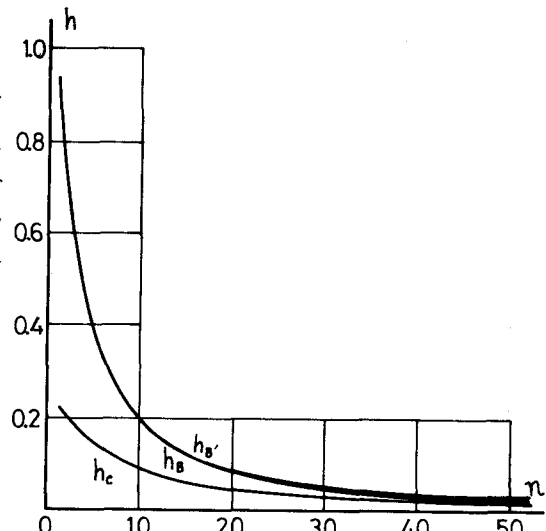


図-3 水抜孔数と代表点のポテンシャル

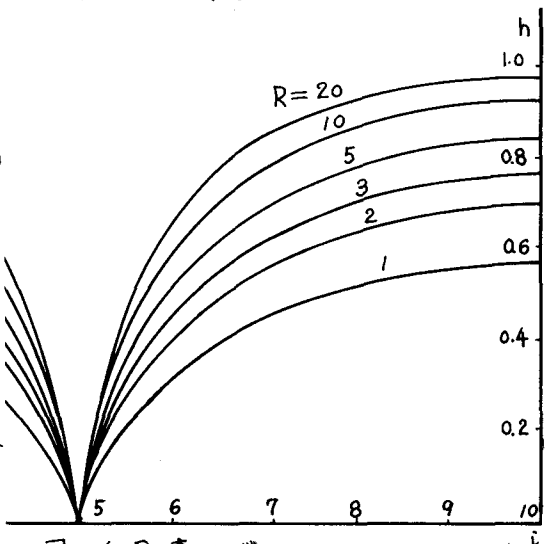


図-4 R の変化に伴う $j = 5$ 上でのポテンシャル分布

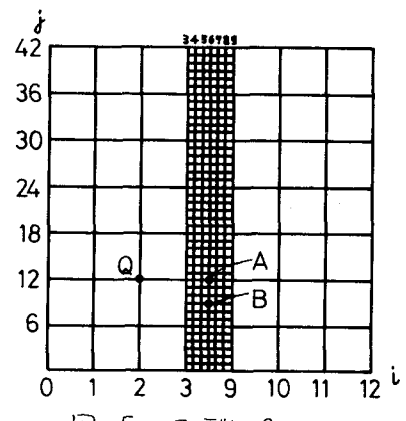
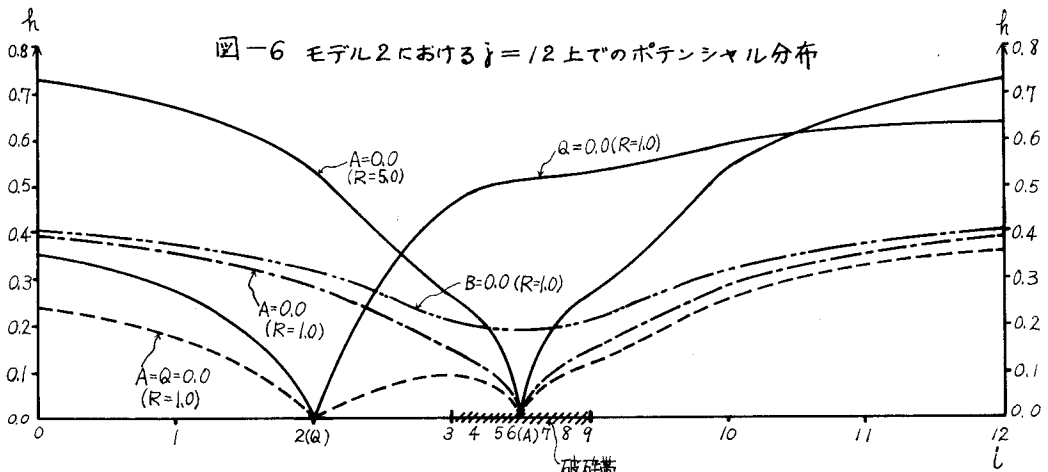


図-5 モデル2



(C) モデル3 岩盤は優勢な亀裂群による比較的粗模の大きいブロック構造をなしてると考えられる。しかし、ブロック中にも細かい亀裂が発達しているので、水抜孔が優勢な亀裂を貫いている場合より細かい亀裂を貫く確率が大きい。

図-7はこのような場合のモデルである。A点に水抜孔が置かれた時、 $X = \frac{R}{R_0}$ の変化に伴う $j=5$ 上でのポテンシャルの分布を求めたものが図-8である。ここに、 κ_{ei} は外側亀裂の透水係数、 κ_{ci} は内部亀裂の透水係数であり $X > 1$ と考えられる。ただし $R = R_0, i = 1, RR = \frac{R}{R_0} = 1$ としている。この図より以下の事項が指摘される。
① ブロック内での水頭損失の占める割合が外側亀裂のそれと比較して大きく、その割合は X の値が大きい程著しくなる。換言すれば、水抜孔が優勢な亀裂を貫いてない限り周辺部の水圧低下が起らず、その機能が低下することになる。

② 4くしく5の内部で水抜孔を横切る断面を考えれば、その断面にかかるポテンシャル勾配は非常に急激なものとなる。

このモデルでは、 X を固定して $R = R_0$ を変化させる場合、 X, R_0 を固定して R を変化させる場合、 X, R を固定して R_0 を変化させる場合等が考えられる。上の二つの場合は、いずれも鉛直亀裂の透水性が水平亀裂のそれに比し大きい程周辺部の水圧低下は少なくなる。然しその場合は、ごくわずかであらわす水圧低下へ傾向は逆転する。

4 おわりに 岩盤内の透水現象は、岩盤の構造、亀裂の発達状態、水抜孔の位置等により複雑に変化するが、本文はその1例を示したものに過ぎない。水抜孔の適正配置については今後の研究に持ち度い。本研究に協力された東京都計画佐道氏ならびに大成建設金子実氏に謝意を示す次第である。

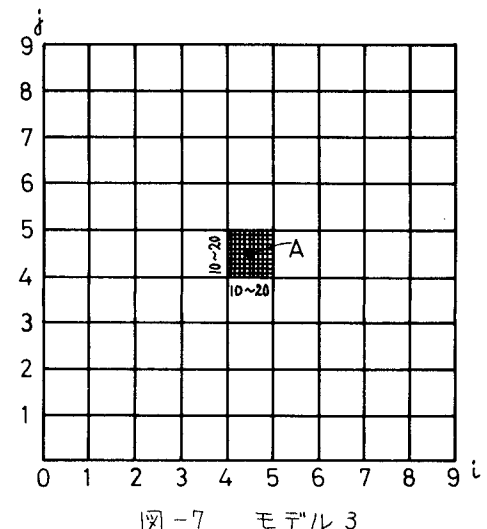


図-7 モデル3

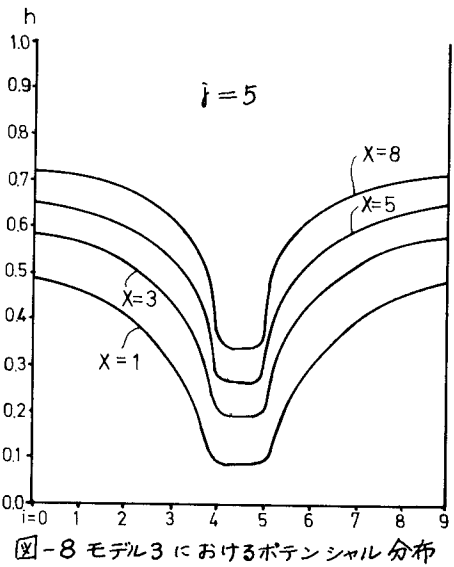


図-8 モデル3におけるポテンシャル分布